

## 振り返りと導入

今回は、指数型分布族にいくつかの構造を定め、Amari-Chentsov テンソルと  $\alpha$ -接続を定義した。本稿では次のことを行う:

- 具体例の計算 (有限集合上の full support な確率分布の族)
- 具体例の計算 (正規分布族)

今回以降、次のように記法を変更する<sup>1)</sup>。

**定義 0.1** (パラメータの空間の記法の変更). 可測空間  $X$  上の指数型分布族  $\mathcal{P}$  とその実現  $(V, T, \mu)$  に対し、

- 自然パラメータ空間  $\Theta_{(V, T, \mu)}$  を  $\tilde{\Theta}_{(V, T, \mu)}$  と書くことにし、
- 真パラメータ空間  $\Theta_{(V, T, \mu)}^{\mathcal{P}}$  を  $\Theta_{(V, T, \mu)}$  と書くことにする。

文脈から明らかな場合は添字を省略することがある。

## 1 具体例: 有限集合上の full support な確率分布の族

本節では、有限集合上の full support な確率分布の族について、 $\alpha$ -接続に関する測地線方程式を求めている。

**設定 1.1** (有限集合上の full support な確率分布の族).  $X := \{1, \dots, n\}$  ( $n \in \mathbb{Z}_{\geq 1}$ ) とし、

$$\mathcal{P} := \left\{ \sum_{i=1}^n p_i \delta^i \in \mathcal{P}(X) \mid 0 < p_i < 1 \ (i = 1, \dots, n) \right\} \quad (1.1)$$

とおく。ただし  $\delta^i$  は 1 点  $i \in X$  での Dirac 測度である。[0425\\_資料.pdf](#) 例 3.1 でみたように  $\mathcal{P}$  は  $X$  上の指数型分布族である。

まず  $\mathcal{P}$  が開であることを確かめる。

**命題 1.2** (最小次元実現の構成および  $\mathcal{P}$  が開であることの確認).

(1)  $(V, T, \mu)$  を次のように定めると、これは  $\mathcal{P}$  の実現となる:

$$V = \mathbb{R}^{n-1}, \quad (1.2)$$

$$T: X \rightarrow V, \quad k \mapsto {}^t(\delta_{1k}, \dots, \delta_{(n-1)k}), \quad (1.3)$$

$$\mu = \gamma \quad (\text{数え上げ測度}) \quad (1.4)$$

(2) この実現の対数分配関数  $\psi: \tilde{\Theta} \rightarrow \mathbb{R}$  は  $\psi(\theta) = \log \left( 1 + \sum_{l=1}^{n-1} \exp \theta^l \right)$  となる。

(3) 写像  $P := P_{(V, T, \mu)}: \tilde{\Theta} \rightarrow \mathcal{P}$  は次をみたす:

$$P(\theta) = \frac{1}{1 + \sum_{l=1}^{n-1} \exp \theta^l} \left( \sum_{i=1}^{n-1} (\exp \theta^i) \delta^i + \delta^n \right) \quad (1.5)$$

1) [BN78] での記法によった。

(4) 次の写像  $\theta: \mathcal{P} \rightarrow \Theta$  は  $P$  の逆写像である:

$$\theta: \mathcal{P} \rightarrow \Theta, \quad \sum_{i=1}^n p_i \delta^i \mapsto \left( \log \frac{p_i}{p_n} \right)_{i=1}^{n-1} \quad (1.6)$$

(5)  $\Theta = \tilde{\Theta} = \mathbb{R}^{n-1}$  が成り立つ。

(6)  $(V, T, \mu)$  は最小次元実現である。とくに  $\mathcal{P}$  は開である。

**証明** (1) 実現であることはよい。

(2) 対数分配関数の定義より

$$\psi(\theta) = \log \int_X \exp \langle \theta, T(x) \rangle \mu(dx) \quad (1.7)$$

$$= \log \sum_{i=1}^n \exp \left( \sum_{l=1}^{n-1} \theta^l \delta_{li} \right) \quad (1.8)$$

$$= \log \left( \sum_{i=1}^{n-1} \exp \theta^i + 1 \right) \quad (1.9)$$

である。

(3)  $P(\theta) = \exp(\langle \theta, T(k) \rangle - \psi(\theta)) \cdot \gamma$  を直接計算すれば得られる。

(4)  $P \circ \theta, \theta \circ P$  を直接計算すれば確かめられる。

(5) すべての  $\theta \in \mathbb{R}^{n-1}$  に対し  $\int_X \exp \langle \theta, T(x) \rangle \mu(dx) = \sum_{l=1}^{n-1} \exp \theta^l + 1 < \infty$  が成り立つから  $\Theta = \mathbb{R}^{n-1}$  である。

(6) 最小次元実現の特徴づけを確かめる。条件 A(3) と条件 B が成り立つことから、最小次元実現であることがわかる。  $\square$

以降、 $\mathcal{P}$  には自然な位相および多様体構造が入っているものとして扱い、 $\mathcal{P}$  上の自然な平坦アファイン接続を  $\nabla$ 、Fisher 計量を  $g$  とおく。また、 $\theta: \mathcal{P} \rightarrow \Theta$  は多様体  $\mathcal{P}$  上の座標とみなす。

図形的には、 $P$  は  $\mathbb{R}^{n-1}$  から  $\mathbb{R}^n$  内の  $(n-1)$ -単体 (の内部) への微分同相写像になっている。

**命題 1.3** ( $\mathcal{P}$  の 2 通りの位相と多様体構造).  $\mathcal{P}$  上の位相 (resp. 多様体構造) として、 $X$  上の符号付き測度全体のなすベクトル空間  $\mathcal{S}(X) \cong \mathbb{R}^n$  の位相部分空間 (resp. 部分多様体) としての構造と、指数型分布族としての自然な構造の 2 通りを考えられるが、これらの構造は互いに一致する。

**証明** いずれの位相 (resp. 多様体構造) に関しても写像  $P: \tilde{\Theta} \rightarrow \mathcal{P}$  は同相 (resp. 微分同相) 写像だからである。  $\square$

**命題 1.4** (Fisher 計量の成分). 座標  $\theta = (\theta^1, \dots, \theta^{n-1})$  に関する Fisher 計量  $g$  の成分は

$$g_{ij}(p) = \delta_{ij} p_i - p_i p_j \quad (p \in \mathcal{P}, i, j = 1, \dots, n-1) \quad (1.10)$$

となる。

**証明** 命題 2.2 の  $(V, T, \mu)$  に関する Fisher 計量を  $\tilde{g}$  とおくと、各点  $p \in \mathcal{P}$  に対し

$$g_{ij}(p) = g_p \left( \frac{\partial}{\partial \theta^i}, \frac{\partial}{\partial \theta^j} \right) \quad (1.11)$$

$$= (\theta^* \tilde{g})_p \left( \frac{\partial}{\partial \theta^i}, \frac{\partial}{\partial \theta^j} \right) \quad (1.12)$$

$$= \tilde{g}_{\theta(p)} \left( d\theta \left( \frac{\partial}{\partial \theta^i} \right), d\theta \left( \frac{\partial}{\partial \theta^j} \right) \right) \quad (1.13)$$

$$= (\text{Hess } \psi)_{\theta(p)} \left( d\theta \left( \frac{\partial}{\partial \theta^i} \right), d\theta \left( \frac{\partial}{\partial \theta^j} \right) \right) \quad (1.14)$$

$$= (\text{Var}_p[T])(e^i, e^j) \quad (1.15)$$

$$= E_p[(T^i - E_p[T^i])(T^j - E_p[T^j])] \quad (1.16)$$

$$= \sum_{l=1}^n (\delta_{il} - p_i)(\delta_{jl} - p_j)p_l \quad (1.17)$$

$$= \delta_{ij}p_i - p_i p_j \quad (1.18)$$

が成り立つ。

□

**命題 1.5** (AC テンソルの成分). 座標  $\theta$  に関する AC テンソル  $S$  の成分は

$$S_{ijk} = p_i \delta_{ij} \delta_{jk} - p_i p_k \delta_{ij} - p_i p_j \delta_{jk} - p_j p_k \delta_{ik} + 2p_i p_j p_k \quad (p \in \mathcal{P}, i, j, k = 1, \dots, n-1) \quad (1.19)$$

となる。

**証明** 前回 (0613\_資料.pdf) の命題 1.9 を用いると

$$S_{ijk}(p) = E_p[(T^i - E_p[T^i])(T^j - E_p[T^j])(T^k - E_p[T^k])] \quad (1.20)$$

となるから、命題 1.4 と同様に直接計算して命題の主張の等式が得られる。

□

以降、 $n = 3$  の場合を考える。

**命題 1.6** ( $n = 3$  での  $g, S, A$  の計算). 座標  $\theta$  に関し、 $g$  の行列表示は

$$(g_{ij})_{i,j} = \begin{pmatrix} p_1(1-p_1) & -p_1 p_2 \\ -p_1 p_2 & p_2(1-p_2) \end{pmatrix}, \quad (g^{ij})_{i,j} = \frac{1}{p_3} \begin{pmatrix} \frac{p_3}{p_1} + 1 & 1 \\ 1 & \frac{p_3}{p_2} + 1 \end{pmatrix} \quad (1.21)$$

となる。 $S$  の成分は

$$S_{111} = p_1 - 3p_1^2 + 2p_1^3, \quad (1.22)$$

$$S_{112} = S_{121} = S_{211} = -p_1 p_2 + 2p_1^2 p_2, \quad (1.23)$$

$$S_{122} = S_{212} = S_{221} = -p_1 p_2 + 2p_1 p_2^2, \quad (1.24)$$

$$S_{222} = p_2 - 3p_2^2 + 2p_2^3 \quad (1.25)$$

となる。 $A$  の成分は

$$A_{11}^1 = 1 - 2p_1, \quad A_{11}^2 = 0 \quad (1.26)$$

$$A_{12}^1 = A_{21}^1 = -p_2, \quad A_{12}^2 = A_{21}^2 = -p_1 \quad (1.27)$$

$$A_{22}^1 = 0, \quad A_{22}^2 = 1 - 2p_2 \quad (1.28)$$

となる。

**証明**  $g$  の行列表示は命題 1.4 よりわかる。その逆行列は直接計算よりわかる。 $S$  の成分は命題 1.5 よりわかる。 $A$  の成分は直接計算よりわかる。  $\square$

**命題 1.7** ( $n = 3$  での測地線方程式). 各  $\alpha \in \mathbb{R}$  に対し、座標  $\theta$  に関する  $\nabla^{(\alpha)}$ -測地線の方程式は

$$\ddot{\theta}^1 = -\frac{1-\alpha}{2} \left( (1-2p_1)\dot{\theta}^1{}^2 - 2p_2\dot{\theta}^1\dot{\theta}^2 \right) \quad (1.29)$$

$$\ddot{\theta}^2 = -\frac{1-\alpha}{2} \left( -2p_1\dot{\theta}^1\dot{\theta}^2 + (1-2p_2)\dot{\theta}^2{}^2 \right) \quad (1.30)$$

となる ( $p_1, p_2$  は  $\theta^1, \theta^2$  の関数であることに注意)。とくに  $\alpha = 1$  のとき

$$\ddot{\theta}^1 = 0, \quad \ddot{\theta}^2 = 0 \quad (1.31)$$

である。

**証明** 測地線の方程式

$$\ddot{\theta}^k = -\Gamma_{ij}^k \dot{\theta}^i \dot{\theta}^j \quad (1.32)$$

に、前回 (0613\_資料.pdf) の命題 1.11 の等式  $\Gamma_{ij}^{(\alpha)k} = \frac{1-\alpha}{2} A_{ij}^k$  を代入して得られる。  $\square$

$\alpha \neq 1$  の場合に上の測地線方程式を解くのは難しい(ように思う)。

## 2 具体例: 正規分布族

本節では、正規分布族について、 $\alpha$ -接続に関する測地線方程式を求めてみる。

**設定 2.1** (正規分布族).  $X := \mathbb{R}$  とし、

$$\mathcal{P} := \left\{ \frac{1}{\sqrt{2\pi\sigma^2}} \exp\left(-\frac{(x-\mu)^2}{2\sigma^2}\right) \lambda(dx) \in \mathcal{P}(X) \mid (\mu, \sigma) \in \mathbb{R} \times \mathbb{R}_{>0} \right\} \quad (2.1)$$

とおく。

**命題 2.2** (最小次元実現の構成および  $\mathcal{P}$  が開であることの確認).

(1)  $(V, T, \mu)$  を次のように定めると、これは  $\mathcal{P}$  の実現となる:

$$V = \mathbb{R}^2, \quad (2.2)$$

$$T: \mathcal{X} \rightarrow V, \quad x \mapsto {}^t(x, x^2), \quad (2.3)$$

$$\mu = \lambda \quad (\text{Lebesgue 測度}). \quad (2.4)$$

(2) この実現の対数分配関数  $\psi: \tilde{\Theta} \rightarrow \mathbb{R}$  は  $\psi(\theta) = -\frac{(\theta^1)^2}{8\theta^2} - \frac{1}{2} \log(-\theta^2) + \frac{1}{2} \log \pi$  となる。

(3) 写像  $P := P_{(V, T, \mu)}: \tilde{\Theta} \rightarrow \mathcal{P}$  は次をみたす:

$$P(\theta) = \exp\left(\theta^1 x + \theta^2 x^2 - \psi(\theta)\right) \lambda(dx) \quad (2.5)$$

(4) 次の写像  $\theta: \mathcal{P} \rightarrow \Theta$  は  $P$  の逆写像である:

$$\theta: \mathcal{P} \rightarrow \Theta, \quad p \mapsto \left( \frac{E_p[x]}{\text{Var}_p[x]}, -\frac{1}{2 \text{Var}_p[x]} \right) \quad (2.6)$$

(5)  $\Theta = \tilde{\Theta} = \mathbb{R} \times \mathbb{R}_{<0}$  が成り立つ。

(6)  $(V, T, \mu)$  は最小次元実現である。とくに  $\mathcal{P}$  は開である。

**証明** (1) 実現であることはよい。

(2) 直接計算よりわかる。

(3)  $P_{(V, T, \mu)}$  の定義よりわかる。

(4)  $(\theta^1, \theta^2) \in \mathbb{R} \times \mathbb{R}_{<0}$  と  $(\mu, \sigma) \in \mathbb{R} \times \mathbb{R}_{>0}$  の対応に注意すれば直接計算よりわかる。

(5)  $\theta^2 \geq 0$  だと  $\exp(\theta^1 x + \theta^2 x^2 - \psi(\theta))$  は積分可能でないから  $\Theta \subset \tilde{\Theta} \subset \mathbb{R} \times \mathbb{R}_{<0}$  である。逆に  $\theta$  の定義より明らかに  $\mathbb{R} \times \mathbb{R}_{<0} \subset \Theta$  である。したがって  $\Theta = \tilde{\Theta} = \mathbb{R} \times \mathbb{R}_{<0}$  である。

(6) 最小次元実現の特徴づけの条件 A(3) と条件 B が成り立つことから、最小次元実現であることがわかる。 □

### 命題 2.3. Fisher 計量 $g$ について

(1) 座標  $(\theta^1, \theta^2)$  に関する  $g$  の成分は

$$g_{ij} = \left( -\frac{1}{2\theta^2} d\theta^1 + \frac{\theta^1}{2(\theta^2)^2} d\theta^2 \right) d\theta^1 + \left( \frac{\theta^1}{2(\theta^2)^2} d\theta^1 + \left( \frac{1}{2(\theta^2)^2} - \frac{(\theta^1)^2}{2(\theta^2)^3} \right) d\theta^2 \right) d\theta^2 \quad (2.7)$$

である。

(2) 座標  $(\mu, \sigma)$  に関する  $g$  の成分は

$$g_{ij} = \frac{1}{\sigma^2} (d\mu)^2 + \frac{2}{\sigma^2} (d\sigma)^2 \quad (2.8)$$

である。

**証明** 座標  $(\theta^1, \theta^2)$  と座標  $(\mu, \sigma)$  の間の座標変換は  $\theta^1 = \frac{\mu}{\sigma^2}$ ,  $\theta^2 = -\frac{1}{2\sigma^2}$  および  $\mu = -\frac{\theta^1}{2\theta^2}$ ,  $\sigma = \sqrt{-\frac{1}{2\theta^2}}$  である。

$$d\mu = -\frac{1}{2\theta^2} d\theta^1 + \frac{\theta^1}{2(\theta^2)^2} d\theta^2, \quad (2.9)$$

$$d\sigma = \frac{1}{2\sqrt{2}} (-\theta^2)^{-3/2} d\theta^2, \quad (2.10)$$

$$d\theta^1 = \frac{1}{\sigma^2}d\mu - \frac{2\mu}{\sigma^3}d\sigma \quad (2.11)$$

$$d\theta^2 = \frac{1}{\sigma^3}d\sigma \quad (2.12)$$

よって

$$(d\theta^1)^2 = \frac{1}{\sigma^4}(d\mu)^2 - \frac{\mu}{\sigma^5}d\mu d\sigma + \frac{4\mu^2}{\sigma^6}(d\sigma)^2 \quad (2.13)$$

$$d\theta^1 d\theta^2 = \frac{1}{\sigma^5}d\mu d\sigma - \frac{2\mu}{\sigma^6}(d\sigma)^2 \quad (2.14)$$

$$(d\theta^2)^2 = \frac{1}{\sigma^6}(d\sigma)^2 \quad (2.15)$$

である。したがって

$$Dd\mu = \frac{1}{(\theta^2)^2}d\theta^1 d\theta^2 - \frac{\theta^1}{(\theta^2)^3}(d\theta^2)^2 \quad (2.16)$$

$$= \frac{4}{\sigma}d\mu d\sigma, \quad (2.17)$$

$$Dd\sigma = \frac{3}{4\sqrt{2}}(-\theta^2)^{-5/2}(d\theta^2)^2 \quad (2.18)$$

$$= \frac{3}{\sigma}(d\sigma)^2 \quad (2.19)$$

である。よって

$$d\psi = \frac{\mu}{\sigma^2}d\mu + \left(-\frac{\mu^2}{\sigma^3} + \frac{1}{\sigma}\right)d\sigma \quad (2.20)$$

$$\text{Hess } \psi = Dd\psi \quad (2.21)$$

$$= d\left(\frac{\mu}{\sigma^2}\right)d\mu + \frac{\mu}{\sigma^2}Dd\mu + d\left(-\frac{\mu^2}{\sigma^3} + \frac{1}{\sigma}\right)d\sigma + \left(-\frac{\mu^2}{\sigma^3} + \frac{1}{\sigma}\right)Dd\sigma \quad (2.22)$$

$$= \frac{1}{\sigma^2}(d\mu)^2 + \frac{2}{\sigma^2}(d\sigma)^2 \quad (2.23)$$

である。座標変換により  $(\theta^1, \theta^2)$  に関する  $\text{Hess } \psi$  の成分も得られる。  $\square$

**命題 2.4** (AC テンソルの成分). 座標  $(\mu, \sigma)$  に関する AC テンソル  $S$  の成分は

$$S_{111} = 0 \quad (2.24)$$

$$S_{112} = S_{121} = S_{211} = \frac{2}{\sigma^3} \quad (2.25)$$

$$S_{122} = S_{212} = S_{221} = 0 \quad (2.26)$$

$$S_{222} = \frac{8}{\sigma^3} \quad (2.27)$$

である。座標  $(\mu, \sigma)$  に関する  $A$  の成分は

$$A_{11}^1 = 0, \quad A_{11}^2 = \frac{1}{\sigma}, \quad (2.28)$$

$$A_{12}^1 = A_{21}^1 = \frac{2}{\sigma}, \quad A_{12}^2 = A_{21}^2 = 0, \quad (2.29)$$

$$A_{22}^1 = 0, \quad A_{22}^2 = \frac{4}{\sigma} \quad (2.30)$$

である。

証明

$$DD\psi = D\left(\frac{1}{\sigma^2}(d\mu)^2 + \frac{2}{\sigma^2}(d\sigma)^2\right) \quad (2.31)$$

$$= -\frac{2}{\sigma^3}(d\mu)^2 d\sigma + \frac{1}{\sigma^2}D(d\mu)^2 - \frac{4}{\sigma^3}(d\sigma)^3 + \frac{2}{\sigma^2}D(d\sigma)^2 \quad (2.32)$$

ここで

$$D(d\mu)^2 = 2d\mu Dd\mu = \frac{8}{\sigma}(d\mu)^2 d\sigma \quad (2.33)$$

$$D(d\sigma)^2 = 2d\sigma Dd\sigma = \frac{6}{\sigma}(d\sigma)^3 \quad (2.34)$$

だから

$$DDd\psi = \frac{6}{\sigma^3}(d\mu)^2 d\sigma + \frac{8}{\sigma^3}(d\sigma)^3 \quad (2.35)$$

である。これより命題の主張の式が得られる。 $A$  の成分は直接計算より得られる。  $\square$

**命題 2.5** (接続係数).

(1) 座標  $(\mu, \sigma)$  に関する  $\Gamma^g$  の成分は

$$\Gamma_{11}^{g1} = 0, \quad \Gamma_{12}^{g1} = \Gamma_{21}^{g1} = -\frac{1}{\sigma}, \quad \Gamma_{22}^{g1} = 0, \quad (2.36)$$

$$\Gamma_{11}^{g2} = \frac{1}{2\sigma}, \quad \Gamma_{12}^{g2} = \Gamma_{21}^{g2} = 0, \quad \Gamma_{22}^{g2} = -\frac{1}{\sigma} \quad (2.37)$$

である。

(2) 座標  $(\mu, \sigma)$  に関する  $\Gamma^{(\alpha)}$  ( $\alpha \in \mathbb{R}$ ) の成分は

$$\Gamma_{11}^{(\alpha)1} = 0, \quad \Gamma_{12}^{(\alpha)1} = \Gamma_{21}^{(\alpha)1} = -\frac{1+\alpha}{\sigma}, \quad \Gamma_{22}^{(\alpha)1} = 0, \quad (2.38)$$

$$\Gamma_{11}^{(\alpha)2} = \frac{1-\alpha}{2\sigma}, \quad \Gamma_{12}^{(\alpha)2} = \Gamma_{21}^{(\alpha)2} = 0, \quad \Gamma_{22}^{(\alpha)2} = -\frac{1+2\alpha}{\sigma} \quad (2.39)$$

である。

**証明**  $\Gamma^g$  は  $\Gamma_{ij}^{gk} = \frac{1}{2}g^{kl}(\partial_i g_{jl} + \partial_j g_{li} - \partial_l g_{ij})$  を直接計算することで得られる。 $\Gamma^{(\alpha)}$  は  $\Gamma_{ij}^{(\alpha)k} = \Gamma_{ij}^{gk} - \frac{\alpha}{2}A_{ij}{}^k$  より得られる。  $\square$

**命題 2.6** (測地線方程式).  $(\mu, \sigma)$  座標に関する  $\nabla^{(\alpha)}$ -測地線の方程式は

$$\begin{cases} \ddot{\mu} - \frac{2(1+\alpha)}{\sigma}\dot{\mu}\dot{\sigma} = 0, \\ \ddot{\sigma} + \frac{1-\alpha}{2\sigma}\dot{\mu}^2 - \frac{1+2\alpha}{\sigma}\dot{\sigma}^2 = 0 \end{cases} \quad (2.40)$$

である。とくに  $\alpha = 0$  のとき

$$\begin{cases} \ddot{\mu} - \frac{2}{\sigma}\dot{\mu}\dot{\sigma} = 0, \\ \ddot{\sigma} + \frac{1}{2\sigma}\dot{\mu}^2 - \frac{1}{\sigma}\dot{\sigma}^2 = 0 \end{cases} \quad (2.41)$$

である。

証明 測地線の方程式「 $\ddot{x}^k = -\Gamma^k_{ij}\dot{x}^i\dot{x}^j$ 」に接続係数を代入して得られる。  $\square$

**事実 2.7.**  $\mathbb{H} := \mathbb{R} \times \mathbb{R}_{>0}$  とし、 $\check{g}$  を  $\mathbb{H}$  上の双曲計量とする。このとき、写像  $f: \mathbb{H} \rightarrow \mathcal{P}$ ,  $(x, y) \rightarrow (x, \sqrt{2}y)$  は  $(\mathbb{H}, \check{g})$  から  $(\mathcal{P}, g)$  への等長同型写像である。  $\square$

**事実 2.8.** 局所等長同型写像は測地線を保つ。  $\square$

**事実 2.9.**  $\mathbb{H}$  の測地線は、 $x$  軸上に中心を持つ円弧または  $y$  軸に平行な直線である。  $\square$

**命題 2.10.**  $\mathbb{H}$  の測地線は、長軸が  $x$  軸に重なる 長軸 : 短軸 = 2 : 1 の楕円または  $y$  軸に平行な直線である。

## 今後の予定

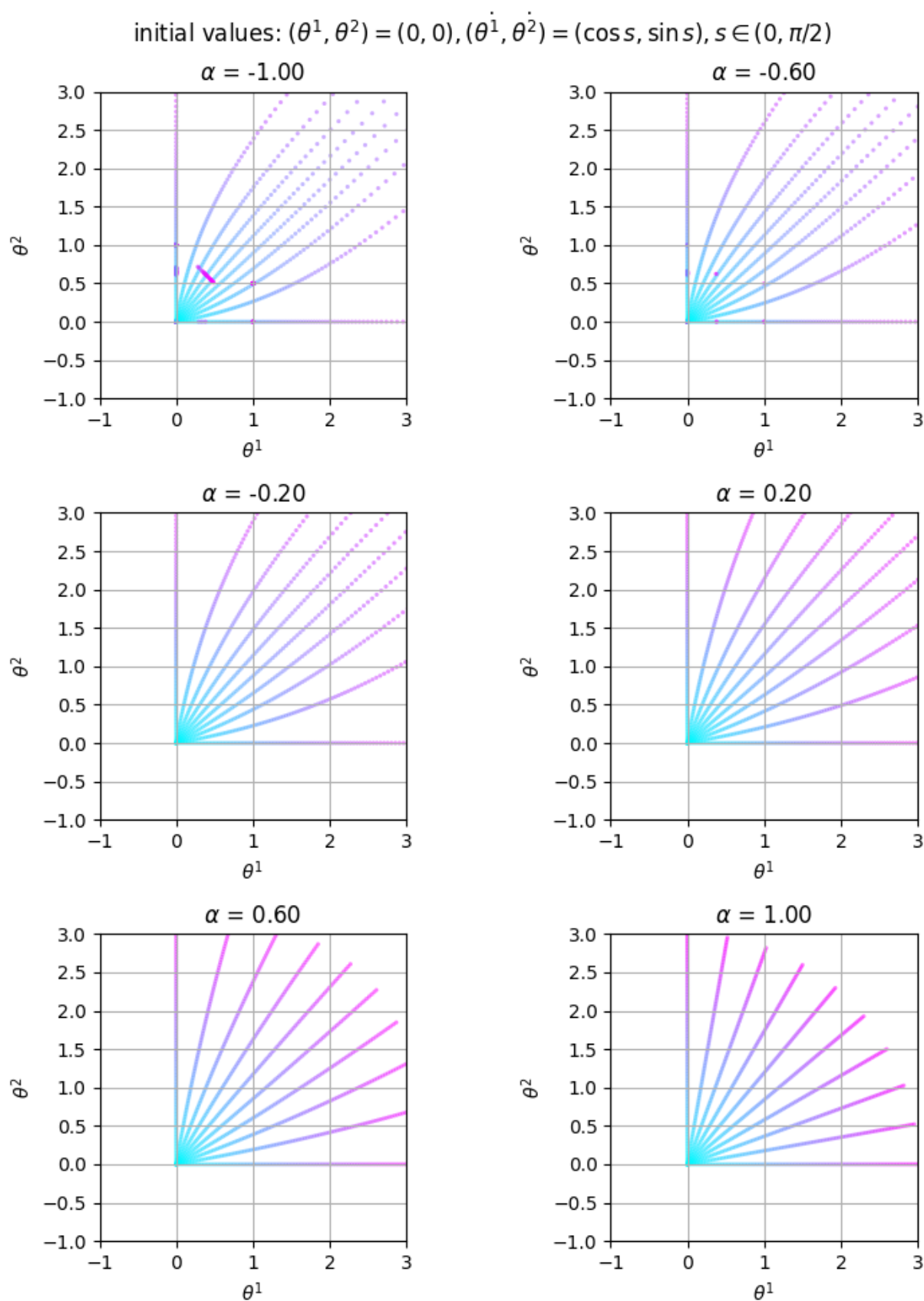
- [TODO]

## 参考文献

- [Ama16] Shun-ichi Amari, **Information Geometry and Its Applications**, Applied Mathematical Sciences, vol. 194, Springer Japan, Tokyo, 2016 (en).
- [BN78] O. E. Barndorff-Nielsen, **Information and exponential families: In statistical theory**, Wiley, 1978.



## A 付録

図1  $\alpha$  を変化させたときの  $\nabla^\alpha$ -測地線の様子